

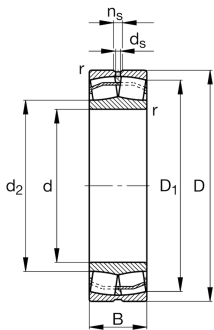
**FAG****22218-E1-XL-H151B-C3**

Радиальный сферический роликоподшипник

Радиальные сферические роликоподшипники 222...-E1, основные размеры по DIN 635-2

**X-life**

## Техническая информация



## Ваш текущий вариант продукта

Design	E1	Without central rip
Исполнение отверстия	Z	Цилиндрическое
Cage	JPA	Стальной сепаратор, штампованный
Радиальный зазор	C3 (Group 3)	Internal clearance larger than CN
Relubrication	Standard	Стандарт
Locating feature, bearing outer ring	H151B	2 конструктивных элемента, для фиксации наружного кольца подшипника

## Основные размеры и рабочие характеристики

d	90 mm	Диаметр отверстия
D	160 mm	Наружный диаметр
B	40 mm	Ширина
$C_r$	345.000 N	Динамическая грузоподъемность, радиальная
$C_{0r}$	375.000 N	Статическая грузоподъемность, радиальная
$C_{ur}$	43.500 N	Предел усталостной нагрузки, радиальный
$n_G$	5.200 1/min	Предельная частота вращения
$n_{gr}$	3.400 1/min	Номинальная тепловая частота вращения
$m$	3,42 kg	Вес



### Присоединительные размеры

$d_{a \min}$	101 mm	Мин. диаметр заплечика вала
$D_{a \max}$	149 mm	Макс. диаметр заплечика корпуса
$r_{a \max}$	2 mm	Макс. радиус галтели

### Габаритные размеры

$r_{\min}$	2 mm	Мин. размер монтажной фаски
$D_1$	143,9 mm	Диаметр отверстия наружного кольца
$d_2$	106,1 mm	Диаметр дорожки качения внутреннего кольца
$d_s$	3,2 mm	Диаметр смазочного отверстия
$n_s$	6,5 mm	Ширина смазочной канавки

### Диапазон температур

$T_{\min}$	-30 °C	Мин. рабочая температура
$T_{\max}$	200 °C	Макс. рабочая температура

### Коэффициенты для расчета

$e$	0,23	Предельное значение $F_a/F_r$ для применимости различн. значений коэффициентов X и Y
$Y_1$	2,9	Динамический коэффициент осевой нагрузки
$Y_2$	4,31	Динамический коэффициент осевой нагрузки
$Y_0$	2,83	Статический коэффициент осевой нагрузки



### Характеристики

---

-  Радиальная нагрузка
-  Осевая нагрузка в одном направлении
-  Осевая нагрузка в обоих направлениях
-  Смазывание пластичной смазкой
-  Смазывание маслом
-  Без уплотнений
-  Статические угловые и линейные несоосности
-  Динамические угловые и линейные несоосности